

## PAPER DETAILS

TITLE: Balikesir/Antandros Antik Kenti Kazisi Toprak Örneklerinin Metagenomik Analizi

AUTHORS: Dilan BAL,Berceste BALCI,Alper YILMAZ,Gürcan POLAT,Ercan ARICAN

PAGES: 1-12

ORIGINAL PDF URL: <https://dergipark.org.tr/tr/download/article-file/998136>

## Balıkesir/Antandros Antik Kenti Kazısı Toprak Örneklerinin Metagenomik Analizi

Dilan BAL<sup>1</sup>, Berceste BALCI<sup>1</sup>, Alper YILMAZ<sup>2</sup>, Gürcan POLAT<sup>3</sup>, Ercan ARICAN\*<sup>1</sup>

<sup>1</sup>İstanbul Üniversitesi, Fen Fakültesi, Moleküler Biyoloji ve Genetik Bölümü, 34134, İstanbul, Türkiye

<sup>2</sup>Yıldız Teknik Üniversitesi, Kimya-Metalurji Fakültesi, Biyomühendislik Bölümü, 34210, İstanbul, Türkiye

<sup>3</sup>Ege Üniversitesi, Edebiyat Fakültesi, Arkeoloji Bölümü, 35040, İzmir, Türkiye

(Alınış / Received: 08.03.2020, Kabul / Accepted: 19.07.2021, Online Yayınlanma / Published Online: 20.04.2022)

### Anahtar Kelimeler

16S rRNA,  
Metagenomik,  
Mikroorganizma,  
Toprak

**Özet:** Bugüne kadar, biyosferde bulunan mikroorganizmaların çok azı kültürleme metoduyla tespit ya da teşhis edilebilmiştir. Kültürlenmemiş ya da kültürlenemeyen mikroorganizmalar ise, mikrobiyal çeşitliliğin büyük bir bölümünü oluşturmaktadır. Metagenomik analiz, kültürleme yapılmaksızın, çevreden direkt alınan örneklerin DNA izolasyonu sonrasında elde edilen mikroorganizmaların tür tayininin yapılmasına, genetik çeşitliliğinin, popülasyon yapısının ve bu mikroorganizmaların insan yaşantısını da etkileyen ekolojik rollerinin anlaşılmasıına olanak vermektedir. Metagenomik; ilaç, biyoyakıt, biyoteknoloji, tarım, ekoloji gibi birçok farklı çalışma alanında yardımcı disiplin olarak önemli rol oynamaktadır. Paleomikrobiyoloji çalışmalarında da son yıllarda sıkça kullanılmaya başlanan metagenomik, insanlık tarihindeki mikrobiyal evrim araştırmalarına katkı sunar ve bize geçmiş zamanların mikro ekosistemini anlama perspektifi verir. Bu çalışmada, Balıkesir/Antandros Antik Kenti nekropolünden kültürleme yapılmaksızın direkt alınan toprak örneklerindeki mikroorganizmaların DNA izolasyonu yapıldı ve sonrasında 16S rRNA genlerinin V3-V4 bölgeleri PZR yöntemi ile çoğaltıldı. Çoğaltılan bölgeler Illumina MiSeq sistemi ile dizilendi. Elde edilen dizilerin metagenomik analizi QIIME 1.9.1 kullanılarak yapıldı ve mikrobiyal çeşitlilik belirlendi.

## Metagenomic Analysis of Soil Samples of Balıkesir/Antandros Ancient City Excavation

### Keywords

16S rRNA,  
Metagenomics,  
Microorganism,  
Soil

**Abstract:** Until now, very few of microorganisms in the biosphere have been detected and defined via cultivation methods. Microorganisms which, can not be cultured or haven't been cultured, make up of significant part of microbial diversity. Metagenomic analysis provides information about genetic diversity, population structure and ecological roles that affect human life of these microorganisms after DNA isolation of environmental samples without culturing. Metagenomics plays a significant role as discipline auxiliary to various different fields such as medicine, biofuels, biotechnology, agriculture, ecology. Metagenomics, which is started to be widely used in paleomicrobiology studies as well, contributes to microbial evolution studies in human history and gives us a perspective to understand ancient micro ecosystem. In this thesis, DNA isolation of microorganisms in culture-independent soil samples taken directly from Balıkesir/Antandros Ancient City Necropolis was performed and afterwards V3-V4 regions of 16S rRNA were multiplied by using PCR method. Replicated regions were sequenced using Illumina MiSeq system. Metagenomic analysis of these sequences was performed using QIIME 1.9.1 and microbial diversity was detected.

## 1. Giriş

Günümüzde Balıkesir ili, Edremit ilçesi, Altınoluk beldesi sınırları içerisinde yer alan Antandros Antik Kenti’nde yapılan kazı çalışmaları Prof. Dr. Gürcan Polat’ın başkanlığında 2001 yılından beri devam etmektedir [1]. Kazı çalışmalarının yürütüldüğü dört

sektörden biri olan nekropolün, 700 yıl kesintisiz olarak kullanıldığı belirlenmiştir. Nekropolün, konumlandığı tepenin yamacında yer alması ve kullanılan alanların sürekli erozyon sonucu toprak altında kalması, mezarların üst üste olmasını ve yapıların mezarların üzerine inşa edilmiş olmasını açıklamaktadır. Antandros Antik Kenti nekropolü

\*İlgili yazar: earican@istanbul.edu.tr

uzun yıllar boyunca kullanmış olması dolayısıyla farklı kültür ve dönemlere ait mezar, gömü çeşitleri ve yapıpala ev sahipliği yapmaktadır [2]. Antik kalıntılardaki mikroorganizmaların tespiti ve teşhisi ile mikroorganizmaların evriminin ve insan popülasyonuyla simbiyotik ilişkisinin anlaşılmasına olanak veren paleomikrobiyoloji, tarihsel ve arkeolojik kaynaklarda ortaya konan hipotezlerin, bilimsel olarak kanıtlı verilerle desteklenmesini sağlamaktadır. Metagenomik çalışmaların son yıllarda gelişmesiyle birlikte paleomikrobiyoloji çalışmaları hız kazanmıştır [3].

Metagenomik, mikroorganizma topluluklarını içeren örneklerin kültür edilmesine gerek duyulmaksızın direkt olarak doğal ortamlardan alınıp, içindeki mikroorganizmaların DNA'larının izole edilmesi ve bu DNA'ların yeni nesil dizileme teknikleri kullanılarak analiz edilmesidir. Metagenomik alanında yapılan ilk çalışmalar, yaklaşık olarak 1.5 kb'lık 16S rRNA genlerini hedef alan Sanger dizileme yöntemini baz almıştır [4]. Bu 1.5 kb'lık kodlama yapan dizi, gene dağılmış halde bulunan 9 tane korunmuş (C1-C9) bölge, 9 tane çok değişken (V1-V9) bölge içermektedir [5]. Daha güncel çalışmalara bakıldığındaysa metagenomik çalışmalarda dizileme için hedef bölge olarak bu çok değişken (V1-V9) bölgelerin, dizileme yöntemi olarak ise yeni nesil dizileme yöntemlerinden biri olan Illumina'nın tercih edildiği görülmektedir. Yeni nesil dizileme yöntemleri daha düşük maliyetle günde 5000 Mb'lık DNA dizileyebiliyorken, Sanger dizileme yöntemi daha yüksek maliyetle, günde yaklaşık 6 Mb'lık DNA dizileyebilmektedir [6]. Metagenomik çalışmalarda dizilenmek üzere hedeflenen DNA dizisinin boyutu, çevresel örneklerden elde edilen mikroorganizmaların çeşidi ve mikroorganizmalara ait DNA miktarlarının fazla olması sebebiyle Illumina dizileme yöntemi tercih edilmektedir [7].

Yapılan metagenomik çalışmalarda, 16S rRNA geninin çok değişken bölgelerini hedef alan dizileme yöntemi ile elde edilen verilerin metagenomik analizinde kullanılmak üzere genellikle QIIME programının tercih edildiği görülmektedir [8]. QIIME ile DNA dizileri kalite kontrolden geçirildikten sonra, dizilere ait işlevsel taksonomik birimler (OTU'lar) belirlenebilir ve belirlenen OTU'lara taksonomik atamalar yapılarak mikrobiyal çeşitlilik belirlenebilir [9].

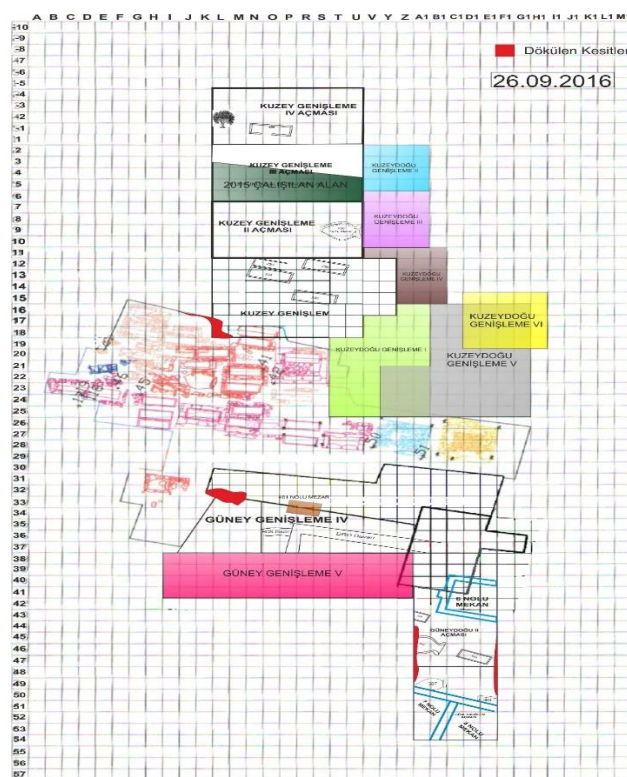
Bu çalışmada Balıkesir/Antandros Antik Kenti nekropolünün farklı konumlarından alınan toprak örneklerindeki mikroorganizmaların kültürleme yönteminden bağımsız DNA izolasyonu işlemi sonrasında, 16S rRNA genlerinin çok değişken V3-V4 bölgesinin çoğaltıması, çoğaltılan bölgelerin Illumina dizileme yöntemiyle dizilenmesi, dizileme verilerinin metagenomik analizinde QIIME programı kullanılarak OTU'ların belirlenmesi, buna bağlı olarak taksonomik analizin yapılması ve örnek alınan bölgelerin

mikroorganizma çeşitliliğinin ortaya konması amaçlanmıştır. Elde edilen verilerle arkeolojik bulguların bilimsel olarak desteklenmesi beklenmektedir.

## 2. Materyal ve Metot

### 2.1. Balıkesir/Antandros antik kenti toprak örneklerinin toplanması

Çalışma kapsamında kullanılan Balıkesir/Antandros Antik Kenti kazısı toprak örnekleri, arkeologlar gözetiminde açılan mezarlardan, çıkarılan mezar hediyelerinden, nekropolde bulunan ve depolama amaçlı kullanıldığı düşünülen pithoslardan alındı. Açılan mezarlardan örnek alınırken - bağırsaklardaki bakteriler göz önünde bulundurularak - örnek konumu olarak iskelet seviyesi karın bölgesi tercih edildi. Açılan mezarlardan çıkarılan mezar hediyelerinin (örneğin; koku kabı olarak kullanıldığı tahmin edilen buluntular) içerisinde de toprak örnekleri alındı. Balıkesir/Antandros Antik Kenti nekropolü, farklı dönemlerde yerleşim alanı olarak da kullanıldığından, büyük depolama kaplarına (pithos) da rastlandı. Bu pithosların içerisinde de toprak örnekleri alındı.



**Sekil 1.** 2016 yılı nekropol genel plan kare.

Sekil 1'de Balıkesir/Antandros Antik Kenti nekropolünün 2016 yılı genel plan karesi görülmektedir. 2016 yılı kazı sezonunda toplam 6 farklı mezarдан (mezar kodları; 453, 480, 486, 487, 490, 493), Kuzeydoğu Genişleme V açması içerisinde bulunan depolama amaçlı kullanıldığı düşünülen pithostan, açılan mezarlarda bulunan 2 adet mezar

hediyesinden toplam 8 adet toprak örneği steril şekilde alındı. Örneklerin alındığı mezarlarda çoğunlukla Kuzeydoğu Genişleme III ve Kuzeydoğu Genişleme IV açmalarında yer almaktadır. Alınan sadece bir örnek Kuzey Genişleme III açmasında yer almaktadır.

453 No'lu mezardaki buluntular göz önünde bulundurularak tarih lendirmeye, kazı ekibi tarafından M.Ö. 2. yy olarak yapılmıştır. Birincil kremasyonun kümelerinin urne kabının içerisine konulduğu gözlemlenmiştir. 453 No'lu mezarda bulunan HTJ 3 kodlu mezardaki hediyesi içerisinde toprak örneği alındı. HTJ 3 kodlu mezardaki hediyesinin Şekil 1'de görülen plan karedeki konumu 2-3/S-T'dır.

480 No'lu mezarın tarih lendirmesi kazı ekibi tarafından M.Ö. 4. yy olarak yapılmıştır. 480 No'lu mezarın iskelet seviyesinin tahmini karın bölgesinden toprak örneği alındı. 480 No'lu mezarın Şekil 1'de görülen plan karedeki konumu 11/A1-B1'dır.

486 No'lu mezardaki buluntular göz önünde bulundurularak tarih lendirmeye, kazı ekibi tarafından M.Ö. 2. yy sonu olarak yapılmıştır. Bu mezardaki birincil kremasyon çatı kiremiti mezardır. 486 No'lu mezarın iskelet seviyesinin tahmini karın bölgesinden toprak örneği alındı. 486 No'lu mezarın Şekil 1'de görülen plan karedeki konumu 13-14/V-Z'dır.

486 Çatı kiremiti mezarda bireyin kafatası kemiklerinin üst seviyesinden ele geçirilen mezardaki hediyesi HUI 5, khytridion formundadır. Tarih lendirmesi kazı ekibi tarafından 2. yy sonu -1. yy başı olarak yapılmıştır. Birincil kremasyon 486 No'lu mezar hediyesi olan HUI 5'in içerisinde toprak örneği alındı. HUI 5 kodlu mezardaki hediyesinin Şekil 1'de görülen plan karedeki konumu 13/Y'dır.

487 No'lu mezarın kazı ekibi tarafından M.Ö. 5. yy olarak yapılmıştır. 487 No'lu mezarın iskelet seviyesinin tahmini karın bölgesinden toprak örneği alındı. 487 No'lu mezarın Şekil 1'de görülen plan karedeki konumu 12/Y-Z'dır.

490 No'lu mezarın tarih lendirmesi kazı ekibi tarafından Hellenistik dönem (M.Ö. 330-30) olarak yapılmıştır. 490 No'lu mezarın iskelet seviyesinin tahmini karın bölgesinden toprak örneği alındı. 490 No'lu mezarın Şekil 1'de görülen plan karedeki konumu 12-13/Y'dır.

493 No'lu mezarın tarih lendirmesi kazı ekibi tarafından M.Ö. 6. yy olarak yapılmıştır. 493 No'lu mezarın iskelet seviyesinin tahmini karın bölgesinden toprak örneği alındı. 493 No'lu mezarın Şekil 1'de görülen plan karedeki konumu 13/Z-A1'dır.

Kuzeydoğu Genişleme V açmasında yer alan ve amphoralarla aynı açmada bulunması sebebiyle depolama amaçlı kullanıldığı düşünülen pithosun içerisinde toprak örneği alındı.

## 2.2. Toprak örneklerinden DNA izolasyonu

Balıkesir/Antandros Antik Kenti nekropolünden alınan toprak örneklerinin DNA izolasyon işlemi, steril kabin içerisinde yapıldı. İzolasyon öncesinde kabin 20 dk. boyunca UV ışık ile sterilize edildi. İzolasyonu yapılacak toprak örneği, içerisindeki taşların fiziksel parçalanmasını hızlandırmak amaçlı otoklavlanmış havan içerisinde dövülüp toz haline getirildi. DNA izolasyon prosedürü, Norgen firmasının, sadece topraktan DNA izolasyonu için tasarladığı Soil DNA Isolation Kit (Norgen Biotek, Ontario, Kanada, Katalog no: 26500 ) prosedürüne bazı solüsyon miktarları optimize edilerek uygulandı.

## 2.3. PZR yöntemi ile 16S rRNA geni V3-V4 bölgesinin çoğaltılmaması

İzolasyonu yapılan toprak örneklerinin 16S rRNA geni V3-V4 bölgeleri PZR yöntemiyle çoğaltıldı. Bu PZR çalışmasıyla, izolasyonu yapılan örneklerin çalışıp çalışmadığının kontrolü yapıldı. Bu protokolde kullanılan primer çiftleri (S-D-Bact-0341-b-S-17, S-D-Bact-0785-a-A-21), 16S rRNA geni, V3 ve V4 bölgesini hedeflemektedir [10].

S-D-Bact-0341-b-S-17 → CCTACGGGNGGCWGCAG  
S-D-Bact-0785-a-A-21 → GACTACHVGGGTATCTAATCC

16S Amplikon PZR İleri Primer = 5'

TCGTCGGCAGCGTCAGATGTGTATAAGAGACAG**CCTAC**  
**GGGNGGCWGCAG**

16S Amplikon PZR Geri Primer = 5'

GTCTCGTGGGCTCGGAGATGTGTATAAGAGACAG**GAC**  
**TACHVGGGTATCTAATCC**

Koyu yazılan diziler; 16S rRNA geni V3-V4 bölgelerine özgü primer dizileridir. Normal yazılan diziler ise, Illumina evrensel adaptör dizileridir [11]. V3-V4 bölgelerine özgü primerler dizilerinde N harfi A,T,G ya da C; W harfi A ya da T; H harfi A, C ya da T; V harfi de A, C ya da G nükleotitlerini temsil etmektedir. PZR işleminde, N, W, H ve V'nin yerine gelebilecek nükleotitlerin bütün kombinasyonları ile tasarlanan primerleri eşit miktarda içeren karışım kullanıldı.

PZR işlemi, Tablo 1'de hazırlanan bileşenlerle C1000 Thermal Cycler (Biorad Laboratories, Inc., ABD) cihazı kullanılarak, Tablo 2'de belirtilen koşullar uygulanarak gerçekleştirildi.

**Tablo 1.** PZR için gerekli bileşenler.

| Bileşen Adı   | Hacim        |
|---|--------------|
| Mikrobiyal DNA (5ng/μl)                                     | 2.5 μl       |
| 16S Amplikon PZR İleri Primer = 5'                          | 5 μl         |
| 16S Amplikon PZR Geri Primer = 5'                           | 5 μl         |
| 2x KAPA HiFi HotStart ReadyMix<br>(KAPA Biosystems, KK2601) | 12.5 μl      |
| <b>Toplam</b>   | <b>25 μl</b> |

**Tablo 2.** PZR koşulları.

| Döngüler         | Sıcaklık (°C) | Süre  | Döngü Sayısı |
|------------------|---------------|-------|--------------|
| İlk Denatürasyon | 95            | 3 dk  | 1            |
| -Denatürasyon    | 95            | 30 sn |              |
| -Bağlanma        | 55            | 30 sn |              |
| -Uzama           | 72            | 30 sn |              |
| Son Uzama        | 75            | 5 dk  | 1            |
| Bekleme          | 4             | ∞     |              |

PZR sonrası, çoğaltılan amplikonların primer, primer dimer ve diğer PZR bileşenlerinden temizlenmesi için PZR pürifikasyon basamağı uygulandı. Temizlenen amplikonlara, ait oldukları örneklerle özgür, Illumina index dizileri eklendi ve amplikonlar tekrar pürifiye edildi [11].

PZR sonucunda yaklaşık 460 bc uzunluğunda amplikonlar çoğaltıldı. PZR çalışması ile V3-V4 bölgeleri çoğaltılan örnekler % 1.2'lik agaroz jel elektroforezinde görüntülendi.

#### 2.4. 16S rRNA geni V3-V4 bölgesi çoğaltılan örneklerin Illumina yeni nesil dizileme yöntemi ile dizilenmesi

Örneklerin DNA dizileme işlemi için Piya Biyoteknoloji şirketinden profesyonel hizmet alımı yapıldı. Örneklerin DNA dizilemesi Illumina MiSeq sistemi kullanılarak yapıldı. Örneklerin DNA dizileri fasta ve qual formatında elde edildi. Dizileme verilerinin metagenomik analizi için QIIME 1.9.1 versiyonu kullanıldı ve analiz protokolü Kuczynski ve diğ. tarafından 2011 yılında yayımlanan makale [9] referans alınarak uygulandı.

Yeni nesil dizileme işlemi sırasında her örneğe spesifik 8 nükleotid uzunluğunda barkod dizileri eklendi. Bu sayede her bir örnekten gelen DNA dizilerinin ayırtılabilmesi amaçlandı (Tablo 3).

**Tablo 3.** Örneklerde ait spesifik barkod dizileri.

| Örnek Kodu | Örnek Adı                | Barkod Dizisi |
|------------|--------------------------|---------------|
| 1A         | 453 mezar hediyesi HTJ 3 | CAGTCAT       |
| 2A         | Kuzeydoğu Genişleme V    | CAGTGCA       |
| 3Y         | 490 iskelet seviyesi     | CATGCGCA      |
| 4A         | 493 iskelet seviyesi     | CATAACAA      |
| 5A         | 480 iskelet seviyesi     | CATAATAG      |
| 6A         | 486 iskelet seviyesi     | CATATTCT      |
| 7A         | 487 iskelet seviyesi     | CATCAACA      |
| 8A         | 486 mezar hediyesi HUI 5 | CATCACCG      |

#### 2.5. Dizileme verilerinin metagenomik analizi

Metagenomik analizin ilk basamağında çoklu okuma sayıları, örneklerin barkod dizilerine göre atanır. Bu aşamada, her bir dizinin kalite filtrelemesi yapılır ve düşük kaliteli veya belirsiz okumalar kaldırılır.

Yeni nesil dizileme sonucunda elde edilen ham dizilerin uçları kalite skor değerleri dikkate alınarak kısıstıldı. (Kalite skoru >25) Belirtilen işlemler için

*split\_libraries.py* komut dizisi uygulandı. Uygulanan komut dizisi aşağıdaki gibidir:

```
split_libraries.py -m barkod-dosyaadi.txt -f
dizileme-dosyaadi.raw.fasta.gz -q dizileme-
dosyaadi.raw.qual.gz -o
split_Library_output_8bp/ -b 8
```

OTU belirleme aşamasında, benzerlik eşigine (%97) bağlı kalınarak benzer diziler, kümemeyle yöntemiyle işlevsel taksonomik birimlere (OTU'lara) atanır. Bu aşama için *pick\_otus.py* komut dizisi uygulandı. Uygulanan komut aşağıdaki gibidir:

```
pick_otus.py -i split_Library_output_8bp/seqs.fna -
o picked_otus_default
```

Bir sonraki aşama, QIIME üzerinden varsayılan (default) Uclast parametreleri kullanılarak tamamlandı. Bu aşamanın sonucunda örneklerde ait dizilerin kalite kontrolleri yapıldı, kimerik dizilerfiltrelendi ve kümelemeler gerçekleştirildi. OTU'ların belirlenmesinden sonra, diğer aşamalardaki analizlerde kullanılmak üzere her bir OTU'dan temsili bir dizi seçilmesi gerekmektedir. Bu aşama için *pick\_rep\_set.py* komut dizisi uygulandı. Uygulanan komut aşağıdaki gibidir:

```
pick_rep_set.py -i
picked_otus_default/seqs_otus.txt -f
split_Library_output_8bp/seqs.fna -o rep_set1.fna
```

Bir sonraki aşamada, belirlenen her bir OTU'nun temsili dizilerine taksonomik atamalar yapıldı. Dizilerin taksonomik atamaları varsayılan (default) Uclust parametreleri ve Greengenes Veri tabanı (versiyon 13.8) kullanılarak gerçekleştirildi. Bu aşamada *assign\_taxonomy.py* komut dizisi uygulandı. Uygulanan komut aşağıdaki gibidir:

```
assign_taxonomy.py -i rep_set1.fna
```

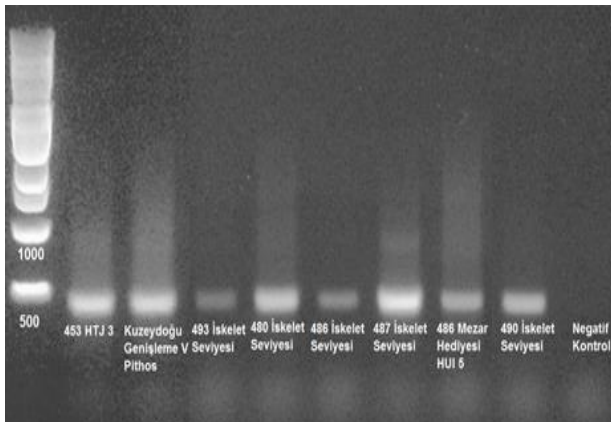
#### 3. Bulgular

Alınan toprak örneklerinin DNA izolasyonu sonrasında spektrotometrik ölçüm ile elde edilen konsantrasyon değerleri Tablo 4'te belirtilmiştir.

**Tablo 4.** DNA izolasyonu yapılan örneklerin konsantrasyon değerleri.

| Örnek Adı                           | Konsantrasyon (ng/µl) |
|-------------------------------------|-----------------------|
| 1A-453 No'lu mezar hediyesi HTJ 3   | 8.4                   |
| 2A-Kuzeydoğu Genişleme-V Pithos     | 19.1                  |
| 3Y-490 No'lu mezar iskelet seviyesi | 9.2                   |
| 4A-493 No'lu mezar iskelet seviyesi | 6.7                   |
| 5A-480 No'lu mezar iskelet seviyesi | 8.4                   |
| 6A-486 No'lu mezar iskelet seviyesi | 8                     |
| 7A-487 No'lu mezar iskelet seviyesi | 10.7                  |
| 8A-486 No'lu mezar hediyesi HUI 5   | 5.1                   |

DNA izolasyonu yapılan örneklerin V3-V4 bölgesinin çoğaltılmaması için PZR yöntemi uygulandı. Daha sonra PZR ürünlerini agaroz jel elektroforezinde yürütülerek kalitatif analiz yapıldı ve agaroz jel üzerinde oluşan bantlar görüntülendi (Şekil 2).



**Şekil 2.** V3-V4 bölgesi PZR yöntemiyle çoğaltılan örneklerin elektroforez jel görüntüsü.

DNA izolasyonu ve PZR işlemi sonucunda örnekler, yeni nesil dizileme yöntemi ile Illumina MiSeq sistemi kullanılarak Piya Biyoteknoloji şirketi tarafından dizilendi. Dizileme sonuçları fasta ve qual formatında elde edildi. Dizileme sonucunda elde edilen DNA dizilerinin başında 8 nükleotit uzunluğunda spesifik barkod dizileri bulunmaktadır.

1A-453 No'lu mezar hediyesi HTJ 3 örneğine ait bir DNA dizisi;

```
CAGTTCATCCTACGGGGGCAGCAGCGAGGAATCTTGGG  
CAATGGCGAACGCTGACCCAGCGACGCCGCGTGAGGG  
TGAAGGCCTCGGGCGTAAACCTCTTTGTGAGGGAAAGA  
AGTTCTGACGGTACCTCACCAATAAGCCACGGCTAATAC  
GTGCCAGCAGCCCGGTAATACGTAGGTGGCAAGCGTTGT  
CCGGATTTACTGGCGTAAAGGGTTGTAGCGGTTCTT  
AAGTCGGTGTGAAATCTCCGGCTCAACTGGGAGGAGCC  
ATCGAAACTGGCAGCTAGAGGTGGCAGAGGAAAGCG  
GAATTCCCGGTGTAGCGGTAAATGCGTAGATATCGGGAG  
GAACACCAAGTGGCGAAGGCGGTTTCTGGCCTATCCTGA  
CGCTGAGGAGCGAAAGCGTGGGAGCAAACCGGATTAGA  
TACCCAGTAGTC
```

2A-Kuzeydoğu Genişleme V, Pithos örneğine ait bir DNA dizisi;

```
CAGTTGCACCTACGGGGCTGCAGTGGGAATCTTGC  
CAATGGCGAACGCTGACCCAGCAACGCCGCGTGCGGGAT  
GACGGCCTCGGGTTGTAACCGCTTCACTGGGAGAA  
ACCAGACGGTACCCACAGAAGAAGCCCCGGCCAACCTACGT  
GCCAGCAGCCCGGTAACACGTAGGGGGCGAGCGTTGTCC  
GGAATCATGGCGTAAAGAGCTCGTAGGCGCTCAGTAA  
GTCGGGTGTAAACCTCAGGCTCAACCTGGGAGGCCAC  
TCGATACTGCTGGCTAGAGTCCAGTAGAGGAGTGTGGA  
ATTCCCGGTGTAGCGGTAAATGCGCAGATATCGGGAGGA  
ACACCAACGGCGAAGGCAGCACTCTGGCCTGGAACGTACG  
CTGAGGAGCGAAAGCGTGGTAGCAAACAGGAT
```

3Y-490 No'lu mezar iskelet seviyesi örneğine ait bir DNA dizisi;

```
CATGCGCACCTACGGGAGGCTGCAGTGGGAATTTGCGC  
AATGGGCAGAACGCTGACCCAGTAACGCCGCGTGAGGAT  
GAAGGCATTGGTTGTAACACTCCTGTCAGGGAAACGAC  
GGGAAAGGGTATAAATCTTCTTCAGACGGTACCTC  
CAAAGGAAGCCCGCTAATTCCGTGCCAGCAGCCCGGT  
AATACGGAAGGGCAAGCGTTGTTGGAATCTACCGTAAAGC  
AAAGGGCGTAGGTGGTTCTGTATGTCTACCGTAAAGC  
GTACGGCTCAACCGTGCATTGCGTAGAAACTGCAGGAC  
TTGAGGCTGGGAGGGCTGGTAATCCCTGTGAGCGG  
TGAAATGCGTAGAGATGGGGAGAACACTCGTGGCGAAG  
GCGGCCAGCTAGACCAGTTCTGACACTGAGGCGCACAGC  
GTGGGAGCAAACAGGATTAGAT
```

4A-493 No'lu mezar iskelet seviyesi örneğine ait bir DNA dizisi;

```
CATAACAACCTACGGGGGCAGCAGTAGGGAATCTTCCG  
CAATGGCGAACGCTGACGGAGCAACGCCGCGTGAGTGA  
TGAAGGTCTCGGATCGTAAACACTCTGTTATTAGGAAAGA  
ACAAATGTGTAAGTAACTATGCACGCTTGCAGGGTACCTA  
ATCAGAAAGCCACGGCTAACTACGTGCCAGCAGCCCGGT  
AATACGTAGGTTGCAAGCGTTATCCGAATTATGGCGT  
AAAGCGCGTAGGCGGTTTTAAGTCTGATGTGAAAGC  
CCACGGCTCAACCGTGGAGGGCTATTGAAAATGAAAC  
TTGAGTGCAGAAGAGGAAAGTGGAAATCCATGTGAGCG  
GTGAAATGCGCAGAGATATGGAGGAACACCAGTGGC  
GGCAGCTTCTGGTCTGTAACTGACGCTGATGTGCGAAAG  
CGTGGGATCAAACAGGATTAGATACCGTGTAGTC
```

5A-480 No'lu mezar iskelet seviyesi örneğine ait bir DNA dizisi;

```
CATAATAGCCTACGGGGGCAGCAGTCGGGAATTTGCC  
CAATGGACGAAAGTCTGAGGCAGCAACTCCGCGTGAGGGA  
CCAAGGCCTCGGGTTGTAACACTCTTCTCAGGGAAAGA  
TCCAAGACGGTACCTGAGGAATAAGCCACGGCTAATACG  
TGCCAGCAGCCCGGTAATACGTAGGTGGCAAGCGTTGTC  
CGGATTTACTGGCGTAAAGAGCGCGCAGGCGCTGGGTA  
AGTCGATGTGAAAGCTCCGGCTTAACCTGGAAAACGGCA  
TCGAAACTGCTCGGCTTGAAGGTGGGAGGGTAGTGG  
AATTCCCGGTGTAGTGGTAAATGCGTAGATATCGGGAGG  
AACACCAAGTGGCGAAGGCGGCTACCTGGCCCATTCTGAC  
GCTGAGGCGCAAAGCTAGGGAGCGAACGGAT
```

6A-486 No'lu mezar iskelet seviyesi örneğine ait bir DNA dizisi;

```
CATATTCTCCTACGGGTGGCAGCAGTAGGGAATCTTGC  
CAATGGCGAACGCTGACCCAGCAACGCCGCGTGCGGGAT  
GAAGGCCTCGGGTTGTAACACGCTTCACTAGTAGGGACGAA  
CACAGACGGTACCTACAGAAGAAGCAGGGCAACTACGT  
GCCGGCAGCCCGGTAACACGTAGGGTCAAGCGTTGTC  
GGAATCATGGCGTAAAGAGCTCGTAGGCGCTTAGTAA  
GTCGGGTGTAAACCCAGGCTCAACCTGGGAGGCCAC  
CCGATACTGCTAGTAGAGTCCAGTAGGGAGTGTGGA  
ATCCCCAGTGTAGCGGTAAATGCGCAGATATTGGGAGGA  
ACACCAACGGCGAAGGCAGCACTCTGGCCTGGAACGTACG  
CTGAGGAGCGAAAGCGTGGTAGCAAACAGGAT  
CCCTGTAGTC
```

7A-487 No'lu mezar iskelet seviyesi örneğine ait bir DNA dizisi;

```
CATCAACACCTACGGGGGCTGCAGTGGGAATCTTGCCT
AATGGCGCAAGGCTGACG CAGCAGCCGCGTGTGGAT
GACGGCCTTCGGGTTGAAACCACTGTCGGGAGGAACGAA
TACTCGGCCCTCGAATAGGGACCGAGGGTACGGTACCTC
CAAAGGAAGCACCGGCTAACCTCGTGCAGCAGCCGCGT
AATACGGAGGGTGCAGCAGCTGTCCGAATCACTGGCGT
AAAGGGCGCGTAGGGCCCGTTAAGTGGCTGGTAAATC
CCGGGCTCAACTCCGGGCTGCCAGTCAGACTGGCGAGC
TAGAGCACGGTAGGGCAGATGGAATTCCGGTGTAGCGG
TGGAAATGCGTAGAGATCGGAAAGAATACCAGTGGCGAAG
GGTTCTGCTGGCCGTGACGCTGAGGCGCACAGC
GTGGGAG
```

8A-486 No'lu mezar hediyesi HUI 5 örneğine ait bir DNA dizisi;

```
CATCACCGCCTACGGGAGGCAGCAGTCGGGAATTTGCC
AATGGACGAAAGTCTGAGGCAGCAACGCCGCGTGGAT
GAAGGCCTTCGGGTTGAAACCTCTTCAGGGACGAT
GATGACGGTACCTGAGGAATAAGCCACGGCTACTACGTG
CCAGCAGCCGCGGTAAATACGTAGGTGGCAAGCGTTGTCCG
GATTTACTGGCGTAAAGAGCGCGCAGGGCTGTTCAAG
TCGGATGTGAAATCCCCGCTCAACTGGGGGCGTCATT
CGATACTGATCGACTTGAGGAGAGGGAAAGCGGAA
TTCCCGGTAGTGGTGAATGCGTAGATATCGGAGGAA
CACCACTGGCGAAGGCAGGGCTCCTGGCTTCTTGACGC
TGAGGCGCAAAGCCAGGGAGCAAACGGGATTAGATACC
CCGGTAGTC
```

Dizilemesi yapılan örneklerin metagenomik analizi yapıldı. Metagenomik analizin bir aşaması olan çoklu okuma sonuçlarının biyolojik örneklerle atanması basamağında elde edilen, dizilenen her bir örneğe ait barkod okuma sayısı Tablo 5'te gösterilmiştir. Çoklu okuma sayısı, dizileme sırasında eklenen her bir örneğe özgü barkod dizilerinin, o örnek içinde okunma sayısıdır. Bu nedenle çoklu okuma sayısı, her bir örnek içinde bulunan farklı DNA dizisi sayısını vermektedir.

**Tablo 5.** Her bir örnek için elde edilen barkod okuma sayısı.

| Örnek Kodu | Örnek Adı                | Okuma Sayısı |
|------------|--------------------------|--------------|
| 1A         | 453 HTJ 3                | 191864       |
| 2A         | Kuzeydoğu Genişleme V    | 98511        |
| 3Y         | 490 iskelet seviyesi     | 51500        |
| 4A         | 493 iskelet seviyesi     | 53471        |
| 5A         | 480 iskelet seviyesi     | 84957        |
| 6A         | 486 iskelet seviyesi     | 42453        |
| 7A         | 487 iskelet seviyesi     | 123523       |
| 8A         | 486 mezar hediyesi HUI 5 | 48965        |

Örneklerin DNA dizilerinin metagenomik analizi basamaklarında OTU'lar belirlendi, her bir OTU'yu temsil eden diziler belirlendi ve sonuç olarak her bir temsilci dizinin taksonomik ataması yapıldı. Elde edilen sonuçlar farklı taksonomik basamaklara göre ayrılarak, örneklerdeki mikroorganizma çeşitliliği belirlendi. Taksonomik analizde 8 örnek içerisinde toplam 2 alem, 37 şube, 112 sınıf, 211 takım, 336

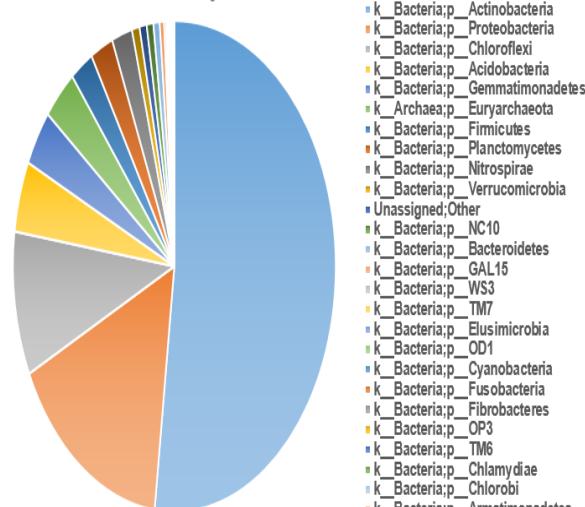
familya, 468 cins ve 505 tür tespit edildi. Greengenes veri tabanı (versiyon 13.8) kullanılarak yapılan karşılaştırmada herhangi bir taksonomik eşleşmenin yapılmadığı (unassigned) mikroorganizmaların yüzdesi ise her örnek için farklı değerlerdedir.

Taksonomik analiz sonuçları bir tablo yaparak, her bir örnekte görülen mikroorganizmaların taksonomik bilgileri ve o örnekteki görülme yüzdesi yazıldı. Yapılan taksonomik analiz sonucunda elde edilen mikroorganizma şube bilgileri kullanılarak her bir örnek için tablo (Tablo 6-13) ve grafikler (Şekil 3-10) çizildi.

**Tablo 6.** 1A-453 No'lu Mezar Hediyesi HTJ 3 örneğinin şube bazında mikroorganizma oranları.

| Alem-Şube Adı                 | Oran (%) |
|-------------------------------|----------|
| k_Bacteria;p_Actinobacteria   | 51,932   |
| k_Bacteria;p_Proteobacteria   | 15,841   |
| k_Bacteria;p_Chloroflexi      | 9,464    |
| k_Bacteria;p_Acidobacteria    | 4,673    |
| k_Bacteria;p_Gemmatimonadetes | 3,695    |
| k_Archaea;p_Euryarchaeota     | 3,449    |
| k_Bacteria;p_Firmicutes       | 2,322    |
| k_Bacteria;p_Planctomycetes   | 2,286    |
| k_Bacteria;p_Nitrospirae      | 2,057    |
| k_Bacteria;p_Verrucomicrobia  | 0,769    |
| Unassigned;Other              | 0,721    |
| k_Bacteria;p_NC10             | 0,665    |
| k_Bacteria;p_Bacteroidetes    | 0,632    |
| k_Bacteria;p_GAL15            | 0,430    |
| k_Bacteria;p_WS3              | 0,205    |
| k_Bacteria;p_TM7              | 0,150    |
| k_Bacteria;p_Elusimicrobia    | 0,148    |
| k_Bacteria;p_OD1              | 0,121    |
| k_Bacteria;p_Cyanobacteria    | 0,096    |
| k_Bacteria;p_Fusobacteria     | 0,079    |
| k_Bacteria;p_Fibrobacteres    | 0,061    |
| k_Bacteria;p_OP3              | 0,060    |
| k_Bacteria;p_TM6              | 0,033    |
| k_Bacteria;p_Chlamydiae       | 0,028    |
| k_Bacteria;p_Chlorobi         | 0,021    |
| k_Bacteria;p_Armatimonadetes  | 0,019    |

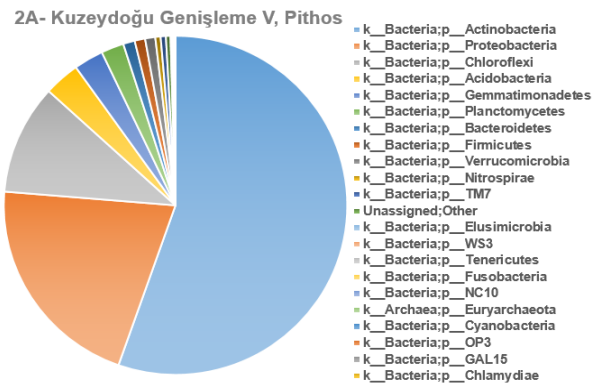
**1A-453 Mezar Hediyesi HTJ 3**



**Şekil 3.** 1A-453 No'lu Mezar Hediyesi HTJ 3 örneğinin şube bazında mikroorganizma oranları grafiği.

**Tablo 7.** 2A-Kuzeydoğu Genişleme V, depolama amaçlı pithos örneğinin şube bazında mikroorganizma oranları.

| Alem-Şube                     | Oran (%) |
|-------------------------------|----------|
| k_Bacteria;p_Actinobacteria   | 55,383   |
| k_Bacteria;p_Proteobacteria   | 20,898   |
| k_Bacteria;p_Chloroflexi      | 10,482   |
| k_Bacteria;p_Acidobacteria    | 3,370    |
| k_Bacteria;p_Gemmatimonadetes | 2,793    |
| k_Bacteria;p_Planctomycetes   | 2,139    |
| k_Bacteria;p_Bacteroidetes    | 1,093    |
| k_Bacteria;p_Firmicutes       | 0,986    |
| k_Bacteria;p_Verrucomicrobia  | 0,956    |
| k_Bacteria;p_Nitrospirae      | 0,500    |
| k_Bacteria;p_TM7              | 0,491    |
| Unassigned;Other              | 0,429    |
| k_Bacteria;p_Elusimicrobia    | 0,088    |
| k_Bacteria;p_WS3              | 0,072    |
| k_Bacteria;p_Tenericutes      | 0,063    |
| k_Bacteria;p_Fusobacteria     | 0,057    |
| k_Bacteria;p_NC10             | 0,043    |
| k_Archaea;p_Euryarchaeota     | 0,033    |
| k_Bacteria;p_Cyanobacteria    | 0,033    |
| k_Bacteria;p_OP3              | 0,028    |
| k_Bacteria;p_GAL15            | 0,024    |
| k_Bacteria;p_Chlamydiae       | 0,022    |

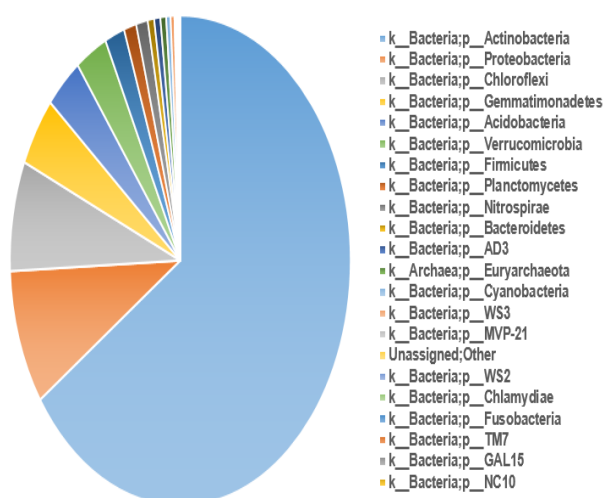


**Şekil 4.** 2A-Kuzeydoğu Genişleme V, depolama amaçlı pithos örneğinin şube bazında mikroorganizma oranları grafiği.

**Tablo 8.** 3Y-490 No'lu mezar iskelet seviyesi örneğinin şube bazında mikroorganizma oranları.

| Alem-Şube                     | Oran (%) |
|-------------------------------|----------|
| k_Bacteria;p_Actinobacteria   | 65,377   |
| k_Bacteria;p_Proteobacteria   | 8,923    |
| k_Bacteria;p_Chloroflexi      | 7,264    |
| k_Bacteria;p_Gemmatimonadetes | 4,591    |
| k_Bacteria;p_Acidobacteria    | 3,539    |
| k_Bacteria;p_Verrucomicrobia  | 3,051    |
| k_Bacteria;p_Firmicutes       | 1,880    |
| k_Bacteria;p_Planctomycetes   | 1,182    |
| k_Bacteria;p_Nitrospirae      | 1,108    |
| k_Bacteria;p_Bacteroidetes    | 0,611    |
| k_Bacteria;p_AD3              | 0,584    |
| k_Archaea;p_Euryarchaeota     | 0,546    |
| k_Bacteria;p_Cyanobacteria    | 0,414    |
| k_Bacteria;p_WS3              | 0,372    |
| k_Bacteria;p_MVP-21           | 0,148    |
| Unassigned;Other              | 0,139    |
| k_Bacteria;p_WS2              | 0,087    |
| k_Bacteria;p_Chlamydiae       | 0,047    |
| k_Bacteria;p_Fusobacteria     | 0,045    |
| k_Bacteria;p_TM7              | 0,043    |
| k_Bacteria;p_GAL15            | 0,025    |
| k_Bacteria;p_NC10             | 0,011    |

3Y-490 İskel Seviyesi

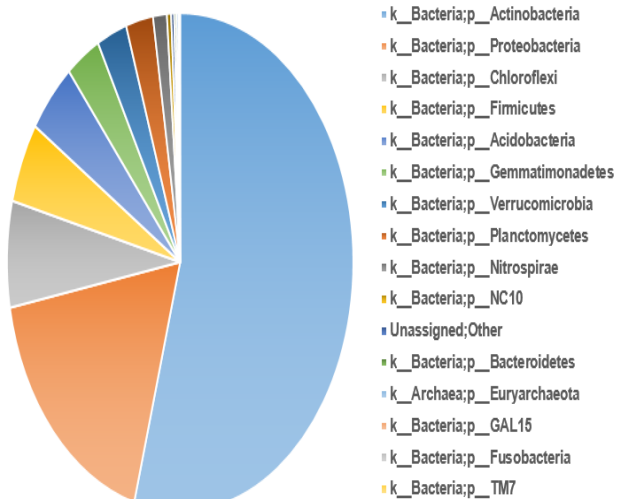


**Şekil 5.** 3Y-490 No'lu mezar iskelet seviyesi örneğinin şube bazında mikroorganizma oranları grafiği.

**Tablo 9.** 4A-493 No'lu mezar iskelet seviyesi örneğinin şube bazında mikroorganizma oranları.

| Alem-Şube                     | Oran (%) |
|-------------------------------|----------|
| k_Bacteria;p_Actinobacteria   | 54,273   |
| k_Bacteria;p_Proteobacteria   | 17,783   |
| k_Bacteria;p_Chloroflexi      | 6,885    |
| k_Bacteria;p_Firmicutes       | 5,226    |
| k_Bacteria;p_Acidobacteria    | 4,710    |
| k_Bacteria;p_Gemmatimonadetes | 3,232    |
| k_Bacteria;p_Verrucomicrobia  | 2,816    |
| k_Bacteria;p_Plantomycetes    | 2,541    |
| k_Bacteria;p_Nitrospirae      | 1,293    |
| k_Bacteria;p_NC10             | 0,393    |
| Unassigned;Other              | 0,281    |
| k_Bacteria;p_Bacteroidetes    | 0,206    |
| k_Archaea;p_Euryarchaeota     | 0,197    |
| k_Bacteria;p_GAL15            | 0,057    |
| k_Bacteria;p_Fusobacteria     | 0,055    |
| k_Bacteria;p_TM7              | 0,034    |

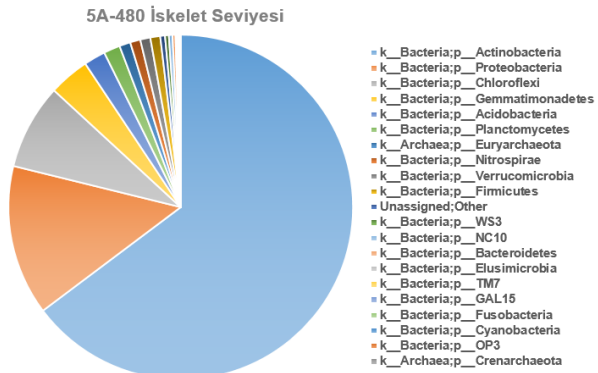
4A-493 İskel Seviyesi



**Şekil 6.** 4A-493 No'lu mezar iskelet seviyesi örneğinin şube bazında mikroorganizma oranları grafiği.

**Tablo 10.** 5A-480 No'lu mezar iskelet seviyesi örneğinin şube bazında mikroorganizma oranları.

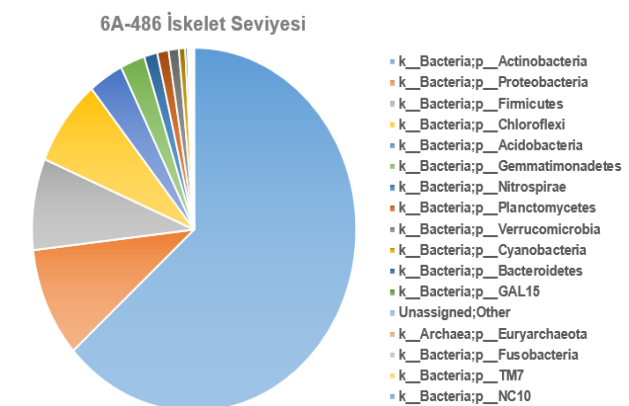
| Alem-Şube                     | Oran (%) |
|-------------------------------|----------|
| k_Bacteria;p_Actinobacteria   | 64,742   |
| k_Bacteria;p_Proteobacteria   | 14,089   |
| k_Bacteria;p_Chloroflexi      | 8,007    |
| k_Bacteria;p_Gemmatimonadetes | 3,807    |
| k_Bacteria;p_Acidobacteria    | 2,030    |
| k_Bacteria;p_Plantomycetes    | 1,541    |
| k_Archaea;p_Euryarchaeota     | 1,039    |
| k_Bacteria;p_Nitrospirae      | 0,957    |
| k_Bacteria;p_Verrucomicrobia  | 0,948    |
| k_Bacteria;p_Firmicutes       | 0,928    |
| Unassigned;Other              | 0,449    |
| k_Bacteria;p_WS3              | 0,352    |
| k_Bacteria;p_NC10             | 0,336    |
| k_Bacteria;p_Bacteroidetes    | 0,278    |
| k_Bacteria;p_Elusimicrobia    | 0,144    |
| k_Bacteria;p_TM7              | 0,133    |
| k_Bacteria;p_GAL15            | 0,084    |
| k_Bacteria;p_Fusobacteria     | 0,072    |
| k_Bacteria;p_Cyanobacteria    | 0,028    |
| k_Bacteria;p_OP3              | 0,017    |
| k_Archaea;p_Crenarchaeota     | 0,010    |



**Şekil 7.** 5A-480 No'lu mezar iskelet seviyesi örneğinin şube bazında mikroorganizma oranları grafiği.

**Tablo 11.** 6A-486 No'lu mezar iskelet seviyesi örneğinin şube bazında mikroorganizma oranları.

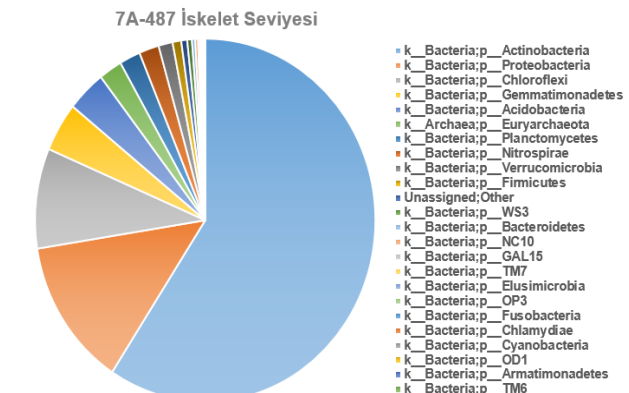
| Alem-Şube                     | Oran (%) |
|-------------------------------|----------|
| k_Bacteria;p_Actinobacteria   | 63,392   |
| k_Bacteria;p_Proteobacteria   | 9,788    |
| k_Bacteria;p_Firmicutes       | 8,130    |
| k_Bacteria;p_Chloroflexi      | 7,774    |
| k_Bacteria;p_Acidobacteria    | 3,464    |
| k_Bacteria;p_Gemmatimonadetes | 2,458    |
| k_Bacteria;p_Nitrospirae      | 1,312    |
| k_Bacteria;p_Plantomycetes    | 1,137    |
| k_Bacteria;p_Verrucomicrobia  | 1,023    |
| k_Bacteria;p_Cyanobacteria    | 0,630    |
| k_Bacteria;p_Bacteroidetes    | 0,244    |
| k_Bacteria;p_GAL15            | 0,189    |
| Unassigned;Other              | 0,151    |
| k_Archaea;p_Euryarchaeota     | 0,141    |
| k_Bacteria;p_Fusobacteria     | 0,093    |
| k_Bacteria;p_TM7              | 0,050    |
| k_Bacteria;p_NC10             | 0,011    |



**Şekil 8.** 6A-486 No'lu mezar iskelet seviyesi örneğinin şube bazında mikroorganizma oranları grafiği.

**Tablo 12.** 7A-487 No'lu mezar iskelet seviyesi örneğinin şube bazında mikroorganizma oranları.

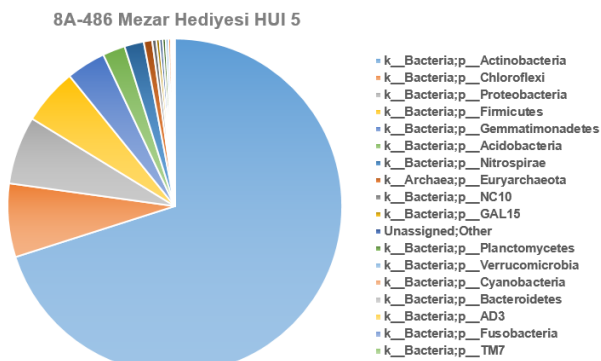
| Alem-Şube                     | Oran (%) |
|-------------------------------|----------|
| k_Bacteria;p_Actinobacteria   | 59,193   |
| k_Bacteria;p_Proteobacteria   | 13,268   |
| k_Bacteria;p_Chloroflexi      | 8,918    |
| k_Bacteria;p_Gemmatimonadetes | 4,366    |
| k_Bacteria;p_Acidobacteria    | 3,698    |
| k_Archaea;p_Euryarchaeota     | 2,215    |
| k_Bacteria;p_Plantomycetes    | 1,988    |
| k_Bacteria;p_Nitrospirae      | 1,890    |
| k_Bacteria;p_Verrucomicrobia  | 1,341    |
| k_Bacteria;p_Firmicutes       | 0,820    |
| Unassigned;Other              | 0,566    |
| k_Bacteria;p_WS3              | 0,441    |
| k_Bacteria;p_Bacteroidetes    | 0,305    |
| k_Bacteria;p_NC10             | 0,271    |
| k_Bacteria;p_GAL15            | 0,178    |
| k_Bacteria;p_TM7              | 0,124    |
| k_Bacteria;p_Elusimicrobia    | 0,108    |
| k_Bacteria;p_OP3              | 0,066    |
| k_Bacteria;p_Fusobacteria     | 0,049    |
| k_Bacteria;p_Chlamydiae       | 0,038    |
| k_Bacteria;p_Cyanobacteria    | 0,038    |
| k_Bacteria;p_OD1              | 0,033    |
| k_Bacteria;p_Armatimonadetes  | 0,029    |
| k_Bacteria;p_TM6              | 0,015    |



**Şekil 9.** 7A-487 No'lu mezar iskelet seviyesi örneğinin şube bazında mikroorganizma oranları grafiği.

**Tablo 13.** 8A-486 No'lu mezar hediyesi HUI 5 örneğinin şube bazında mikroorganizma oranları.

| Alem-Şube                     | Oran (%) |
|-------------------------------|----------|
| k_Bacteria;p_Actinobacteria   | 70,081   |
| k_Bacteria;p_Chloroflexi      | 7,088    |
| k_Bacteria;p_Proteobacteria   | 6,560    |
| k_Bacteria;p_Firmicutes       | 5,426    |
| k_Bacteria;p_Gemmatimonadetes | 3,804    |
| k_Bacteria;p_Acidobacteria    | 2,172    |
| k_Bacteria;p_Nitrospirae      | 1,873    |
| k_Archaea;p_Euryarchaeota     | 0,811    |
| k_Bacteria;p_NC10             | 0,395    |
| k_Bacteria;p_GAL15            | 0,311    |
| Unassigned;Other              | 0,297    |
| k_Bacteria;p_Plantomycetes    | 0,292    |
| k_Bacteria;p_Verrucomicrobia  | 0,252    |
| k_Bacteria;p_Cyanobacteria    | 0,245    |
| k_Bacteria;p_Bacteroidetes    | 0,157    |
| k_Bacteria;p_AD3              | 0,126    |
| k_Bacteria;p_Fusobacteria     | 0,065    |
| k_Bacteria;p_TM7              | 0,033    |

**Şekil 10.** 8A-486 No'lu mezar hediyesi HUI 5 örneğinin şube bazında mikroorganizma oranları grafiği.

#### 4. Tartışma ve Sonuç

Bu çalışma için alınan toplam 8 farklı örneğin DNA izolasyonu, toprak örneklerinden DNA izolasyonu için tasarlanan Soil DNA Isolation Kit (Norgen Biotek, Ontario, Kanada, Katalog no: 26500) kullanılarak yapıldı ve izole edilen DNA miktarları spektrofotometrik ölçüm yapılarak tespit edildi. Elde edilen DNA konsantrasyonları ortalama yaklaşık 10 ng/ $\mu$ l'dır (Tablo 4). Bu kit ile yapılan toprak izolasyonlarında DNA konsantrasyon değerlerinin yaklaşık olarak 20-25 ng/ $\mu$ l aralığında görülmesi beklenmektedir [12]. Örneklerden izole edilen DNA konsantrasyon değerleri, beklenen değerlerden düşük çıkmıştır. Bu durumun, örneklerin yaklaşık 2000-2500 yıllık mezarlardan alınmış olmasından kaynaklandığı düşünülmektedir.

Çalışma kapsamında DNA izolasyonu yapılan örneklerin 16S rRNA genlerinin V3-V4 bölgesi PZR yöntemi ile çoğaltıldı. PZR sonucunda ~460 bç'lik DNA dizileri elde edildi. Benzer yöntemle mikrobiyotadaki farklılığın tespit edildiği Cho ve dig.'nin (2019) yaptığı çalışmada, Hepatosellüler Karsinom ve Siroz hastalarından alınan kan örneklerinden izole edilen DNA'ların 16S rRNA genlerinin V3-V4 bölgesi

çoğaltılmıştır ve bu hastaların kanlarındaki mikrobiyal çeşitlilik tespit edilmiştir [13]. Hepatosellüler Karsinom hastalarının mikrobiyal çeşitliliğinin, siroz hastalarına ve kontrol grubuna göre önemli ölçüde farklılık gösterdiği ve Hepatosellüler Karsinom hastalarında bulunan bazı mikroorganizmaların potansiyel biyobelirteçler olabilecegi belirtilmiştir.

Bu çalışmada, DNA izolasyonu yapılan ve PZR yöntemi ile 16S rRNA V3-V4 bölgeleri çoğaltılan örnekler Illumina MiSeq sistemi ile dizilendi ve ~460 bç uzunluğunda diziler elde edildi. Batı Sicilya'da keşfedilen Arkaik Monte Iato'daki bir yapının alınan toprak örneklerinin dizilemesi de Illumina MiSeq sistemi kullanılarak yapılmıştır [14]. Yemek atığı imha edilen alandan ve şömineden alınan toprak örneklerindeki mikroorganizma çeşitliliği kıyaslanmıştır. Şömineden alınan toprak örneklerindeki mikroorganizmaların karboksilik ve asetik asitleri metabolize ettiği, yemek atığı imha edilen alandan alınan toprak örneklerindeki mikroorganizmaların ise karbonhidratları metabolize ettiği tespit edilmiştir.

Bu çalışmada, Illumina MiSeq sistemi kullanılarak fasta ve qual formatında elde edilen dizilerin metagenomik analizi QIIME 1.9.1 versiyonu kullanılarak yapıldı. Metagenomik analiz sonucunda 8 örnek içerisinde toplam 2 alem, 37 şube, 112 sınıf, 211 takım, 336 familya, 468 cins ve 505 tür tespit edildi. Taksonomik analiz sonucunda tespit edilen mikroorganizma şubeleri bu çalışma kapsamında değerlendirildi (Tablo 6-13, Şekil 3-10). Kim ve dig.'nin (2018) Çin lahanası üzerindeki patojen mikroorganizmaları tespit etmemi amaçladığı çalışmada, Illumina MiSeq sistemi kullanılarak elde edilen dizileme verilerinin metagenomik analizlerini QIIME ile yapılmıştır ve sonucunda bütün örneklerden toplam 29 şube, 169 takım, 322 familya ve 767 cins tespit edilmiştir [15].

Çalışma kapsamında elde edilen taksonomik analiz sonuçlarına göre, dizilenen 8 örnekte görülen en yüksek mikroorganizma yoğunluğu Actinobacteria şubesinde tespit edildi. Toprak ve su ekosistemlerinde farklı türleri bulunan Actinobacteria, toprakta daha çok mantar gibi davranışarak organik maddelerin bitkiler tarafından kullanılabilmesi için parçalanmasını sağlar. Bu nedenle tarım ve orman ekosisteminde oldukça önemli bir yere sahiptir. Actinobacteria'nın diğer bakterilerden evrimsel olarak ayrılması daha eskiye dayanmaktadır. Bu da filogenetik olarak yakın olan bakterilerin tespit edilmesini imkansız kılmaktadır [16]. Antandros Antik kenti nekropolü hem mezarlık olarak hem de yerleşim alanı olarak yaklaşık 700 yıl aralıksız kullanılmıştır [2]. Elde edilen bulgular sonucunda yerleşim alanı olarak kullanıldığı dönemde, bu alanın tarım alanı olarak da kullanılmış olabileceği düşünülmektedir. Aynı zamanda nekropolün bulunduğu konumun

çevresinin günümüzde zeytin ağaçları ile kaplı olması bu bakteri şubesinin yoğun görülme nedenini açıklar niteliktedir. *Actinobacteria*'nın uzun yıllar önce evrimleşmiş olduğu göz önünde bulundurulduğunda ise, Antandros Antik kenti nekropolünün mezarlık ya da yerleşim alanı olarak kullanılmadan önce de bu alanın zeytin ağaçlarıyla kaplı ormanlık bir alan olabileceği düşünülmektedir.

Elde edilen taksonomik verilerde *Actinobacteria*'dan sonra en yoğun görülen şube *Proteobacteria*'dır. *Proteobacteria*, birçok insan patojen türü içерdiği bilinen büyük bakteriyel şubelerden biridir. Sadece bağırsakta değil, ekstraintestinal hastalıklarda da rol oynadığı yapılan çalışmalarla ortaya konulmuştur. Daha güncel çalışmalar astım ve kronik obstrüktif akciğer hastalığı gibi akciğer hastalıklarında da rol oynadığını göstermektedir [17]. Bu patojen türlerini içeren *Proteobacteria* şubesi, bu bölgede bu patojenlerden kaynaklı hastalıkların geçmiş dönemde yaşanmış olma ihtimalini düşündürmektedir. Bununla birlikte, nekropolün tepenin yamacına konumlanmış olması dolayısıyla, yağmur suları ve erozyonla birlikte nekropoldeki toprak katmanlarının zamanla birbirine karışmış olduğu düşünülmektedir [2]. İnsan patojenleri ile ilişkilendirilen bu bakteri şubesinin sadece iskelet seviyesi örneklerinde değil, bütün örneklerde yüksek miktarda tespit edilmesinin sebebinin yağmur suları ve erozyon olabileceği düşünülmektedir.

Alınan toprak örneklerinden izole edilen mikroorganizma oranlarının yüksek oranda görüldüğü *Chloroflexi*, *Acidobacteria*, *Gemmamimonades*, *Firmicutes* şubeleri ise, reaksiyon bazlı fototropi ile ilişkilendirilen şubelerdir. Hatta patojen olmayan bazı *Proteobacteria* türleri de bu gruba dahildir. Fotosentezin evrimsel sürecine bakıldığındá bu şubelere ait türlerin ışık duyarlılığıyla karbon döngüsü yapabildiği görülmüştür. Buna reaksiyona bağlı fototropi denilmektedir. Bu nedenle bu şubeler fotosentez mekanizması ile ilişkilendirilmektedir [18]. Bu fotosentez mekanizmasının evrimi ile ilişkilendirilen bakteri şubeleri, yine tarım alanları ve ormanların çeşitli dönemlerde nekropol alanında bulunmuş olabileceğini düşündürmektedir.

Bütün örneklerde belirli miktarlarda tespit edilmiş olan *Planctomyces* ve *Nitrospirae* şubeleri ise, deniz sularında bulunan mikroorganizmalardır. Her iki şube de azot döngüsünde önemli rol oynarlar ve deniz sularındaki önemli nitrik oksitleyicilerdir [19,20]. Bu iki şubenin, ele alınan diğer mikroorganizmalardan daha az oranda tespit edilmesi ve nekropolün deniz seviyesine çok yakın bir konumda bulunması, nekropolün yerleşim alanı ya da mezarlık olarak kullanılmadan önce sular altında olabileceği ve zamanla bu deniz suyunun çekilip nekropolün günümüzdeki halini almış olabileceğini düşündürmektedir.

Elde edilen taksonomik verilerin en çarpıcı olanı ise, her örnekte farklı yoğunlukta tespit edilen arke şubesi *Euryarchaeota*'dır. Dizlemesi yapılan örnekler içerisinde en yüksek *Euryarchaeota* oranı 1A-453 No'lu mezar hediyesi HTJ 3'te görüldü (Tablo 6). *Euryarchaeota*, yüksek sıcaklık değerlerinde, tuz oranı yüksek ortamlarda ya da pH değeri çok düşük ortamlarda görülebilmektedir. Bu nedenle bu şubede, termofilik ve asidofilik türler bulunmaktadır [21]. Arkeolojik bulgulara bakıldığındá ise bu mezarın bir kremasyon mezar olduğu görülmektedir. *Euryarchaeota* şubesinin termofilik olması ve mezarın gömү çesidinin kremasyon olması, iki farklı disiplinden elde edilen bulguların birbirini desteklediğini gösterir niteliktedir. Diğer bir kremasyon mezar olan 486 No'lu mezara ait mezar hediyesi HUI 5'te tespit edilen *Euryarchaeota*, o örnek içerisinde yüksek oranda görülen şubeler arasındadır (Tablo 13). Kremasyon olmayan 5A-480 No'lu (Tablo 10) ve 7A-487 No'lu (Tablo 12) mezarların iskelet seviyesi örneklerinde de, diğer örneklerle kıyasla yüksek oranda *Euryarchaeota* tespit edildi. Bu bulgu ise, bu iki mezarın üst seviyesinde ya da yakınılarında kremasyon mezar olabileceği ya da çıkabileceği ihtimalini düşündürmektedir.

Elde edilen taksonomik sonuçlarda alem basamağında tespit edilen mikroorganizmaların, 1-A 453 HTJ 3 örneğinde %0.72'sinin, 2A-Kuzeydoğu Genişleme V Pithos örneğinde %0.43'ünün, 3Y-490 iskelet seviyesi örneğinde %0.14'ünün, 4A-493 iskelet seviyesi örneğinde %0.28'inin, 5A-480 iskelet seviyesi örneğinde %0.45'inin, 6A-486 iskelet seviyesi örneğinde %0.15'inin, 7A-487 iskelet seviyesi örneğinde %0.56'sının, 8A-486 HUI 5 örneğinde %0.3'ünün kullanılan veri tabanında (Greengenes 13.8) kayıtlı mikroorganizmalardan herhangi biriyle eşleşmediği görüldü (Tablo 6 - Tablo 13). Metagenomik çalışmalarla elde edilen verilerin, mevcut veri tabanlarına katkı sunması, yeni keşfedilecek mikroorganizmalarla bu veri tabanlarında tanımlanamayan mikroorganizmaların oranlarını azaltması beklenmektedir.

Bu çalışma kapsamında, Balıkesir/Antandros Antik Kenti nekropolünün mikrobiyal çeşitliliği tespit edildi. Tez kapsamında elde edilen bulgular, arkeolojik bulguları destekler niteliktedir. Antandros Antik Kenti nekropolünün mikrobiyal çeşitliliğinin daha geniş bir perspektifle anlaşılması için, bu alanda yeni metagenomik çalışmaların yapılmasına ihtiyaç duyulmaktadır. Bu alanda yapılacak olan metagenomik çalışmalar sayesinde, elde edilecek yeni verilerle bölgeye geçişine dair daha kapsamlı çıkarımların yapılması mümkün olacaktır. Bununla birlikte, mevcut veritabanlarında tanımlanamayan yeni mikroorganizmaların keşfine olanak sağlayacaktır. Bu çalışma, Türkiye'deki antik kentlerin mikrobiyal çeşitliliğinin belirlenmesi için yapılan ilk metagenomik çalışmaddir ve bu alanda yapılacak yeni çalışmalarla öncü olacak niteliktedir.

## Teşekkür

Bu çalışma, İstanbul Üniversitesi Bilimsel Araştırma Projeleri Yürüttüçü Sekreterliğinin 22680 numaralı projesi ile desteklenmiştir.

Projeye sunduğu katkılardan ve verdiği desteklerden dolayı İstanbul Üniversitesi Bilimsel Araştırma Projeleri Birimi'ne ve Antandros Antik Kenti kazı ekibine teşekkür ederiz.

## Etik Beyanı

*Bu çalışmada, "Yükseköğretim Kurumları Bilimsel Araştırma ve Yayın Etiği Yönergesi" kapsamında uyulması gereklili tüm kurallara uyalduğumu, bahsi geçen yönergenin "Bilimsel Araştırma ve Yayın Etiğine Aykırı Eylemler" başlığı altında belirtilen eylemlerden hiçbirinin gerçekleştirilmemiğini taahhüt ederiz.*

## Kaynakça

- [1] Polat, G. 2002. Antandros 2001 Kazıları. 24. Kazı Sonuçları Toplantısı, 27-31 Mayıs, Ankara, T.C. Kültür Bakanlığı Yayınları, 21-30.
- [2] Yağız, K. 2009. Antandros nekropolisi hellenistik dönem mezar tipleri. Adiyaman Üniversitesi Sosyal Bilimler Enstitüsü Dergisi, 2(2), 136-144.
- [3] Rivera-Perez, J. I., Santiago-Rodriguez, T. M., Toranzos G. A. 2016. Paleomicrobiology: a snapshot of ancient microbes and approaches to forensic microbiology. *Microbiology Spectrum*, 4(4), 1-14.
- [4] Kolbert, C., Persing, D. 1999. Ribosomal DNA sequencing as a tool for identification of bacterial pathogens. *Current Opinion in Microbiology*, 2, 299-305.
- [5] Petrosino, J. F., Highlander, S., Luna, R. A., Gibbs, R. A., Versalovic, J. 2009. Metagenomic Pyrosequencing and Microbial Identification. *Clinical Chemistry*, 55(5), 856-866.
- [6] Alves, L. F., Westmann, C. A., Lovate, G. L., Siqueira, G. M. V., Borelli, T. C., Guazzaroni corresponding, M. E. 2018. Metagenomic approaches for understanding new concepts in microbial science. *International Journal of Genomics*, 1-15.
- [7] Culligan, E. P., Sleator, R. D., Marchesi J. R., Hill C. 2014. Metagenomics and Novel Gene Discovery. *Virulence*, 5(3), 399-412.
- [8] Oulas, A., Pavloudi, C., Polymenakou, P., Pavlopoulos, G. A., Papanikolaou, N., Kotoulas, G., Arvanitidis, C., Iliopoulos, I. 2015. Metagenomics: tools and insights for analyzing next-generation sequencing data derived from biodiversity studies. *Libertas Academica*, 9, 75-88.
- [9] Kuczynski, J., Stombaugh, J., Walters, W. A., González, A., Caporaso, G. J., Knight, R. 2011. Using QIIME to analyze 16S rRNA gene sequences from microbial communities. *Current Protocols in Bioinformatics*, 36(1), 1-20.
- [10] Klindworth, A., Pruesse, E., Schweer, T., Peplies, J., Quast, C., Horn, M., Glöckner, F. O. 2013. Evaluation of general 16S ribosomal RNA gene PCR primers for classical and next-generation sequencing-based diversity studies. *Nucleic Acids Research*, 41(1), 1-11.
- [11] 16S Metagenomic Sequencing Library Preparation. [https://support.illumina.com/documents/documentation/chemistry\\_documentation/16s/16s-metagenomic-library-prep-guide-15044223-b.pdf](https://support.illumina.com/documents/documentation/chemistry_documentation/16s/16s-metagenomic-library-prep-guide-15044223-b.pdf) (Erişim Tarihi: 11.04.2019).
- [12] Soil DNA Isolation Plus Kit. <https://norgenbiotek.com/sites/default/files/players/Soil-DNA-Plus-Kit.pdf> (Erişim Tarihi: 06.06.2019).
- [13] Cho, E. J., Leem, S., Kim, S. A., Yang, J., Lee, Y. B., Kim, S. S., Cheong, J. Y., Cho, S. W., Kim, J. W., Kim, S. M., Yoon, J. H., Park, T. 2019. Circulating microbiota-Based metagenomic signature for detection of hepatocellular carcinoma. *Scientific Reports*, 9(1), 1-8.
- [14] Margesin, R., Siles, J. A., Cajthaml, T., Öhlinder, B., Kistler, E. 2017. Microbiology meets archaeology: soil Microbial communities reveal different human activities at archaic monte iato (Sixth century BC). *Microbial Ecology*, 73(4), 925-938.
- [15] Kim, D., Hong, S., Kim, Y. T., Ryu, S., Kim, H. B., Lee, J. H. 2018. Metagenomic approach to identifying foodborne pathogens on chinese cabbage. *Journal of Microbiology and Biotechnology*, 28(2), 227-235.
- [16] Ventura, M., Canchaya, C., Tauch, A., Chandra, G., Fitzgerald, G. F., Chater, K. F., van Sinderen, D. 2007. Genomics of actinobacteria: tracing the evolutionary history of an ancient phylum. *Microbiology and Molecular Biology Reviews*, 71(3), 495-548.
- [17] Rizzatti, G., Lopetuso, L. R., Gibiino, G., Binda, C., Gasbarrini, A. 2017. Proteobacteria: a common factor in human diseases. *BioMed Research International*, 9, 1-7.
- [18] Ward, L. M., Hemp, J., Shih, P. M., McGlynn, S. E., Fischer, W. W., 2018. Evolution of phototrophy in the chloroflexi phylum driven by horizontal gene transfer. *Frontiers in Microbiology*, 9(260), 1-16.
- [19] Garrity G. M., Holt, J. G. 2001. Phylum BVIII. Nitrospirae phy. nov. ss 451-464. Boone, D. R. et al. (eds.) 2001. *Bergey's Manual® of Systematic Bacteriology*, Springer Science+Business Media, New York.

- [20] Fuerst, J. A., Sagulenko E. 2011. Beyond the bacterium: planctomycetes challenge our concepts of microbial structure and function. *Nature Reviews Microbiology*, 9, 403–413.
- [21] Euryarchaeota.<http://www.bilimteknik.tubitak.gov.tr/sites/default/files/bilgipaket/canlilar/m onera/euryarchaeota.htm> (Erişim Tarihi: 08.05.2019).